

CPC 4 : Vibrations longitudinales dans un cristal 1D

1 Cas général

1.1 Énergie potentielle et équations du mouvement

L'énergie potentielle en approximation harmonique est donnée par:

$$U(\dots x_{ni} \dots) = U(\dots x_{ni}^0 \dots) + \frac{1}{2} \sum_{ni,mj} \left(\frac{\partial^2 U}{\partial x_{ni} \partial x_{mj}} \right) u_{ni} u_{mj}$$

Il est sous-entendu que les dérivées secondes de U sont calculées en correspondance de la position d'équilibre du système.

Équations du mouvement :

$$M_i \ddot{u}_{ni} = - \sum_{mj} W_{ni,mj} u_{mj}$$

où

$$W_{ni,mj} = \frac{\partial^2 U}{\partial x_{ni} \partial x_{mj}}$$

La matrice W est parfois appelée *matrice des constantes de force*.

1.2 Changement de variables

$$\ddot{u}_{ni} = - \sum_{mj} \frac{W_{ni,mj}}{\sqrt{M_i M_j}} \tilde{u}_{mj}$$

1.3 Fréquences des modes normaux

D'après le cours, les modes normaux s'écrivent:

$$u_{ni} = A_i e^{i(kna - \omega t)}$$

En termes de nouvelles variables:

$$\tilde{u}_{ni} = \tilde{A}_i e^{i(kna - \omega t)}$$

En remplaçant dans les équations du mouvement on obtient:

$$-\omega^2 \tilde{A}_i = - \sum_{mj} \frac{W_{ni,mj}}{\sqrt{M_i M_j}} \tilde{A}_j e^{i[k(m-n)a]}$$

$$\omega^2 \tilde{A}_i = \sum_j \left\{ \sum_m \frac{W_{ni,mj}}{\sqrt{M_i M_j}} e^{i[k(m-n)a]} \right\} \tilde{A}_j$$

L'équation ci-dessus est identique pour toutes les valeurs de n . On peut alors la réécrire de la façon suivante:

$$\sum_j (D_{ij} - \omega^2 \delta_{ij}) \tilde{A}_j = 0$$

où:

$$D_{ij} = \sum_m \frac{W_{0i,mj}}{\sqrt{M_i M_j}} e^{ikma}$$

2 Cristal diatomique avec interactions entre les seuls plus proches voisins.

2.1 Matrice dynamique

L'énergie potentielle est donnée par:

$$\sum_{n=-\infty}^{+\infty} \left\{ \frac{1}{2} K (u_{n2} - u_{n1})^2 + \frac{1}{2} K (u_{(n+1)1} - u_{n2})^2 \right\}$$

Les constantes de force non nulles sont:

$$\begin{aligned} W_{n1,n1} &= 2K & ; & & W_{n2,n2} &= 2K \\ W_{n1,n2} &= -K & ; & & W_{n2,n1} &= -K \\ W_{n1,(n-1)2} &= -K & ; & & W_{n2,(n+1)1} &= -K \end{aligned}$$

En tenant compte du fait que le paramètre du réseau est $2a$ au lieu que a , on obtient pour les éléments de la matrice dynamique:

$$\begin{aligned} D_{11} &= \frac{2K}{M_1} \\ D_{22} &= \frac{2K}{M_2} \\ D_{12} &= -\frac{K}{\sqrt{M_1 M_2}} (1 + e^{-ik(2a)}) \\ D_{21} &= -\frac{K}{\sqrt{M_1 M_2}} (1 + e^{ik(2a)}) \end{aligned}$$

2.2 Relation de dispersion

On a:

$$\begin{vmatrix} \frac{2K}{M_1} - \omega^2 & -\frac{K}{\sqrt{M_1 M_2}} (1 + e^{-ik(2a)}) \\ -\frac{K}{\sqrt{M_1 M_2}} (1 + e^{ik(2a)}) & \frac{2K}{M_2} - \omega^2 \end{vmatrix} = 0$$

$$(1 + e^{-ik(2a)}) (1 + e^{ik(2a)}) = 2 + 2 \cos(2ka) = 2 + 2[\cos^2(ka) - \sin^2(ka)] = 4 \cos^2(ka)$$

$$\omega^4 - 2K \left(\frac{1}{M_1} + \frac{1}{M_2} \right) \omega^2 + \frac{4K^2}{M_1 M_2} [1 - \cos^2(ka)] = 0$$

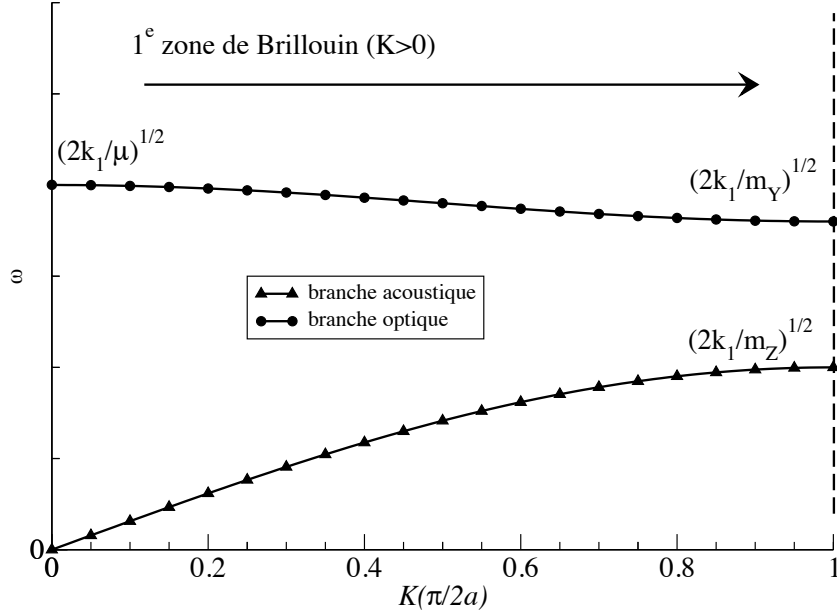


Figure 1: Représentation des branches acoustique et optique (pour $k > 0$). Une bande interdite est observée entre la "bande" acoustique et la "bande" optique. Il faudra faire les identifications suivantes: $k_1 = K$, $m_Y = M_1$, $m_Z = M_2$, $K = k$.

$$\omega^4 - \frac{2K}{\mu}\omega^2 + \frac{4K^2}{M_1M_2}\sin^2(ka) = 0$$

$$\omega^2 = K \left[\frac{1}{\mu} \pm \sqrt{\frac{1}{\mu^2} - \frac{4}{M_1M_2}\sin^2(ka)} \right]$$

On obtient ainsi deux fréquences pour chaque valeur de k . Le signe $+$ correspond à la branche optique, le signe $-$ à la branche acoustique. Pour $k > 0$, la relation de dispersion est représentée en Fig. 1.

2.3 Calcul du rapport u_{n2}/u_{n1}

$$\frac{u_{n2}}{u_{n1}} = \sqrt{\frac{M_1}{M_2}} \frac{\tilde{u}_{n2}}{\tilde{u}_{n1}} = \sqrt{\frac{M_1}{M_2}} \frac{\tilde{A}_{n2}}{\tilde{A}_{n1}}$$

$$(D_{11} - \omega^2) \tilde{A}_{n1} + D_{12} \tilde{A}_{n2} = 0$$

$$D_{21} \tilde{A}_{n1} + (D_{22} - \omega^2) \tilde{A}_{n2} = 0$$

$$\frac{\tilde{A}_{n2}}{\tilde{A}_{n1}} = -\frac{(D_{11} - \omega^2)}{D_{12}}$$

Pour $k = 0$ et $\omega = 0$:

$$\frac{\tilde{A}_{n2}}{\tilde{A}_{n1}} = -\frac{D_{11}}{D_{12}} = \frac{\sqrt{M_1 M_2}}{M_1} = \sqrt{\frac{M_2}{M_1}} \quad \Longrightarrow \quad \boxed{\frac{u_{n2}}{u_{n1}} = 1}$$

Les deux atomes oscillent en phase avec des amplitudes identiques. Le cristal se comporte comme un unique objet rigide.

Pour $k = 0$ et $\omega = \sqrt{\frac{2K}{\mu}}$:

$$\frac{\tilde{A}_{n2}}{\tilde{A}_{n1}} = -\frac{\left(\frac{2K}{M_1} - \frac{2K}{\mu}\right)}{-\frac{2K}{\sqrt{M_1 M_2}}} = -\frac{\frac{1}{M_2}}{\frac{1}{\sqrt{M_1 M_2}}} = -\sqrt{\frac{M_1}{M_2}} \quad \Longrightarrow \quad \boxed{\frac{u_{n2}}{u_{n1}} = -\frac{M_1}{M_2}}$$

Les deux atomes oscillent en anti-phase avec des amplitudes inversement proportionnelles à leurs masses. Le centre de masse des deux atomes reste immobile.

Pour $k = \frac{\pi}{2a}$:

$$\begin{aligned} D_{12} &= D_{21} = 0 \\ &\downarrow \\ (D_{11} - \omega^2) \tilde{A}_{n1} &= 0 \\ (D_{22} - \omega^2) \tilde{A}_{n2} &= 0 \end{aligned}$$

Pour $k = \frac{\pi}{2a}$ et $\omega = \sqrt{\frac{2K}{M_1}}$:

$$\begin{aligned} D_{11} - \omega^2 &= 0 & D_{22} - \omega^2 &\neq 0 \\ &\downarrow \\ \tilde{A}_{n1} \text{ est arbitraire} & & \tilde{A}_{n2} &= 0 \end{aligned}$$

L'atome moins massif oscille, l'atome plus massif est immobile.

Pour $k = \frac{\pi}{2a}$ et $\omega = \sqrt{\frac{2K}{M_2}}$:

$$\begin{aligned} D_{11} - \omega^2 &\neq 0 & D_{22} - \omega^2 &= 0 \\ &\downarrow \\ \tilde{A}_{n1} &= 0 & \tilde{A}_{n2} &\text{ est arbitraire} \end{aligned}$$

L'atome plus massif oscille, l'atome moins massif est immobile.

2.4 $M_1 = M_2 = M$

Le point clé est la taille de la ZdB qui, dans le cas monoatomique, est le double de celle du cas diatomique. On observe, en outre, que les deux fréquences correspondantes à $k = \frac{\pi}{2a}$ se réduisent à une seule: $\omega = \sqrt{\frac{2K}{M}}$.

$$\omega^2 = K \left[\frac{2}{M} \pm \sqrt{\frac{4}{M^2} - \frac{4}{M^2} \sin^2(ka)} \right]$$

$$\omega^2 = \frac{2K}{M} \left[1 \pm \sqrt{1 - \sin^2(ka)} \right] = \frac{2K}{M} [1 \pm \cos(ka)]$$

Rappel: $k \in]-\frac{\pi}{2a}, \frac{\pi}{2a}]$ donc $\cos(ka) \geq 0$.

$$\omega^2 = \frac{2K}{M} \left[1 \pm 1 \mp 2 \sin^2 \left(\frac{ka}{2} \right) \right]$$

Branche acoustique

$$\omega^2 = \frac{4K}{M} \sin^2 \left(\frac{ka}{2} \right)$$

La relation de dispersion est identique à celle du cas monoatomique pour $k \in]-\frac{\pi}{2a}, \frac{\pi}{2a}]$.

Branche optique

$$\omega^2 = \frac{4K}{M} \left[1 - \sin^2 \left(\frac{ka}{2} \right) \right] = \frac{4K}{M} \cos^2 \left(\frac{ka}{2} \right)$$

Pour $k \in]-\frac{\pi}{2a}, 0]$:

$$\cos \left(\frac{ka}{2} \right) = \sin \left(\frac{ka}{2} + \frac{\pi}{2} \right) = \sin \left[\frac{(k + \frac{\pi}{a}) a}{2} \right]$$

La relation de dispersion est identique à celle du cas monoatomique pour $k \in]\frac{\pi}{2a}, \frac{\pi}{a}]$.

L'allure de la relation de dispersion est représentée en Fig. 2 pour $k > 0$.

3 Cristal monoatomique avec interactions entre les plus proches et les seconds plus proches voisins.

3.1 Relation de dispersion

L'énergie potentielle est donnée par:

$$\sum_{n=-\infty}^{+\infty} \left\{ \frac{1}{2} K_1 (u_{(n+1)} - u_n)^2 + \frac{1}{2} K_2 (u_{(n+2)} - u_n)^2 \right\}$$

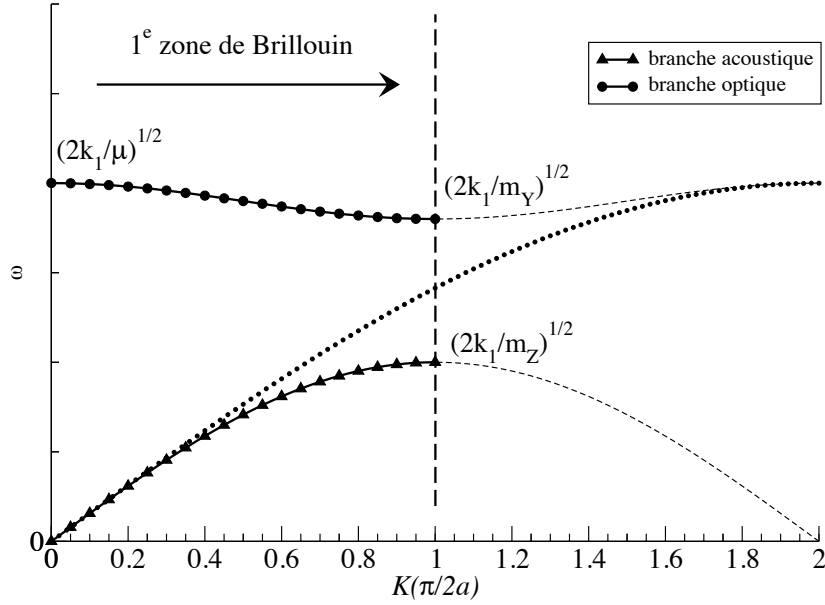


Figure 2: Représentation des branches acoustique et optique (pour $k > 0$). Une bande interdite est observée. Ce gap en bord de zone se referme lorsque M_1 et $M_2 \rightarrow \frac{M_1+M_2}{2}$. (Identifications: $k_1 = K$, $m_Y = M_1$, $m_Z = M_2$, $K = k$)

Les constantes de force non nulles sont:

$$\begin{aligned}
 W_{n,n} &= 2K_1 + 2K_2 \\
 W_{n,(n+1)} &= -K_1 \quad ; \quad W_{n,(n-1)} = -K_1 \\
 W_{n,(n+2)} &= -K_2 \quad ; \quad W_{n,(n-2)} = -K_2
 \end{aligned}$$

d'où l'expression de D :

$$D = \frac{1}{M} \left[2K_1 + 2K_2 - K_1 e^{ikna} - K_1 e^{-ikna} - K_2 e^{ikn(2a)} - K_2 e^{-ikn(2a)} \right]$$

$$D = \frac{1}{M} \{ 2K_1 [1 - \cos(ka)] + 2K_2 [1 - \cos(2ka)] \}$$

$$D = \omega^2 = \frac{1}{M} \left\{ 4K_1 \sin^2 \left(\frac{ka}{2} \right) + 4K_2 \sin^2(ka) \right\}$$

(cf. Fig. 3)

Si on pose:

$$\omega_1 = \sqrt{\frac{K_1}{M}} \quad \text{and} \quad \omega_2 = \sqrt{\frac{K_2}{M}}$$

on obtient:

$$\omega = 2\omega_1 \left| \sin \frac{ka}{2} \right| \cdot \sqrt{1 + \frac{4\omega_2^2}{\omega_1^2} \cos^2 \frac{ka}{2}}$$

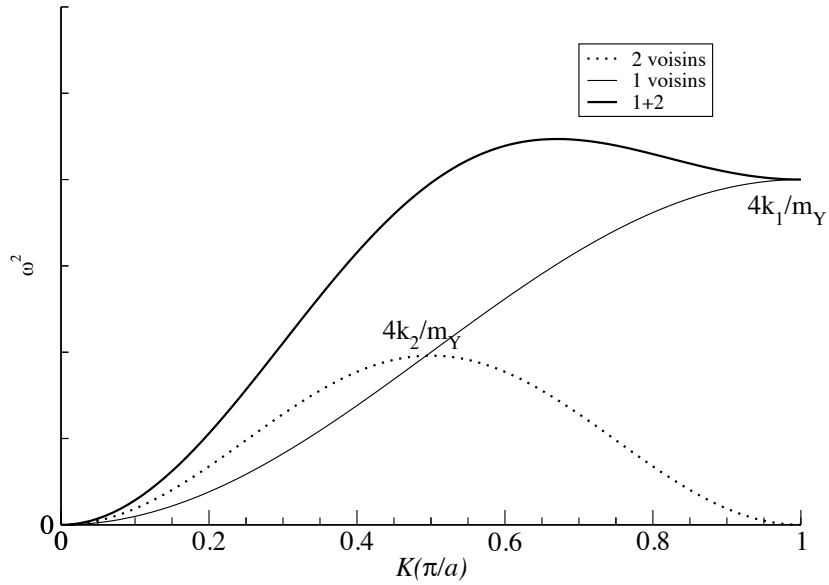


Figure 3: Représentation des contributions des premiers et deuxièmes voisins au carré de la relation de dispersion. (Identifications: $k_1 = K_1$, $k_2 = K_2$, $m_Y = M$, $K = k$)

3.2 Comparaison des deux courbes

La relation de dispersion n'est plus monotone si $K_2 > K_1/2$ (Fig. 4).

3.3 Vitesse du son

La vitesse du son est plus élevée. En effet, pour $k \rightarrow 0$:

$$\omega \rightarrow \omega_1 k a \sqrt{1 + 4 \frac{\omega_2^2}{\omega_1^2}}$$

$$v_{son} = \omega_1 a \sqrt{1 + 4 \frac{\omega_2^2}{\omega_1^2}} > \omega_1 a$$

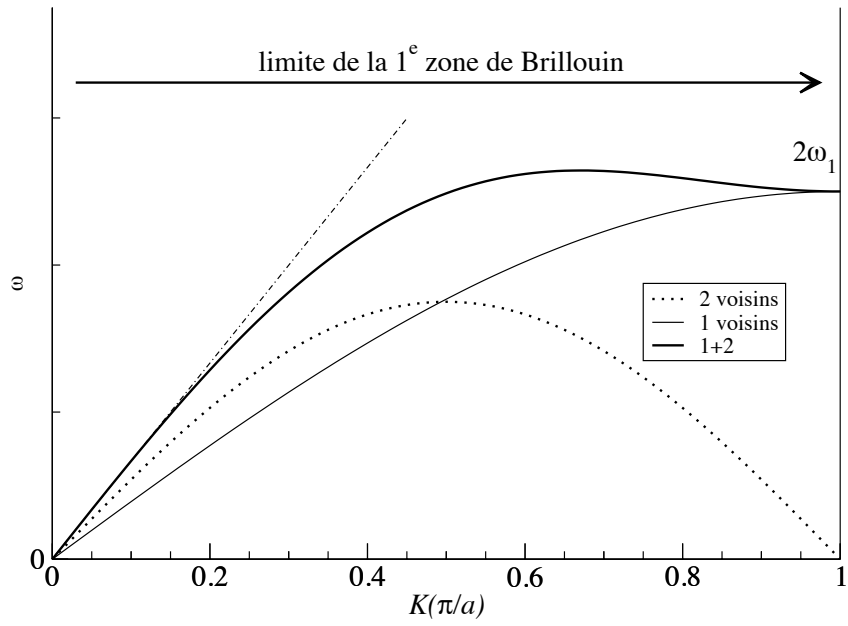


Figure 4: Représentation de la branche acoustique de la relation de dispersion pour $K > 0$. (Identification: $K = k$)